



سنجش از دور

و

GIS ایران



سنجش از دور و GIS ایران سال پانزدهم، شماره چهارم، زمستان ۱۴۰۲  
Vol.15, No. 4, Winter 2023 Iranian Remote Sensing & GIS

۱۷-۳۰

مقاله پژوهشی

## بهبود دقت برآورد غلظت ازن در سطح زمین

### با استفاده از محصولات ماهواره‌ای و یادگیری ماشین

رسول آتشی دلیگانی<sup>۱</sup>، مینا مرادی‌زاده<sup>۲</sup>، بهنام تشیع<sup>۲</sup>

۱. دانشجوی کارشناسی ارشد، مهندسی نقشه‌برداری- گرایش سنجش از دور، دانشکده عمران

و حمل و نقل، دانشگاه اصفهان

۲. استادیار گروه مهندسی نقشه‌برداری، دانشکده عمران و حمل و نقل، دانشگاه اصفهان

تاریخ پذیرش مقاله: ۱۴۰۱/۰۶/۱۳

تاریخ دریافت مقاله: ۱۴۰۱/۰۴/۱۳

### چکیده

ازن نزدیک به سطح زمین بکی از آلاینده‌های بسیار خطرناک است که تأثیرات زیان‌بار در خور توجهی در سلامت ساکنان مناطق شهری دارد. هدف از این مطالعه شناسایی عوامل مؤثر در غلظت ازن و مدل‌سازی تغییرات آن، با استفاده از داده‌های ماهواره‌ای و روش‌های گوناگون یادگیری ماشین در شهر تهران است. بدین‌منظور داده‌های غلظت آلاینده‌ها، داده‌های هواشناسی و دمای سطح خاک، طی بازه زمانی بین سال‌های ۲۰۱۵ تا ۲۰۲۱، به کار رفت. پس از محاسبه همبستگی بین غلظت ازن و پارامترهای مستقل، طی پنج حالت مختلف، با پارامترهای ورودی و روش یادگیری متفاوت و به کارگیری پالایش داده‌ها، غلظت ازن مدل‌سازی شد. در حالت اول و دوم، مدل‌سازی با استفاده از داده‌های غلظت آلاینده‌ها و داده‌های هواشناسی با روش رگرسیون خطی چندمتغیره انجام شد. تنها تفاوت این دو حالت، پالایش داده‌های ورودی بهشیوه WTEST در روش دوم است. در حالت سوم، دمای سطح خاک به داده‌های ورودی افزوده شد و در حالت چهارم و پنجم، به ترتیب مدل‌سازی ازن با استفاده از شبکه عصبی چندلایه‌ای و شبکه عصبی بازگشتی انجام شد. مقایسه این حالت‌ها نشان داد که مدل‌سازی‌های مراحل اول تا پنجم، به ترتیب با ضریب تعیین تعدیل شده  $0.5 / 0.64 / 0.69 / 0.74 / 0.8$  توانایی بازیابی غلظت ازن را داشته‌اند. همچنین مشخص شد در بین آلاینده‌های گوناگون، مونوکسید نیتروژن، دی‌اکسید نیتروژن، نیترات‌کس و از میان داده‌های هواشناسی دما، رطوبت و سرعت با بیشترین تأثیر را در غلظت ازن دارند. افزودن دمای سطح خاک به داده‌های ورودی نیز افزایش پنج درصدی دقت را در برآورد غلظت ازن، به همراه داشت.

**کلیدواژه‌ها:** غلظت ازن، یادگیری ماشین، رگرسیون خطی چندمتغیره، شبکه عصبی بازگشتی، آلاینده جوی.

\* نویسنده مکاتبه‌کننده: اصفهان، میدان آزادی، دانشگاه اصفهان، دانشکده فنی و مهندسی، گروه مهندسی نقشه‌برداری. تلفن: ۰۳۱۳۷۹۳۵۱۲

Email: m.moradizadeh@eng.ui.ac.ir

<https://orcid.org/0000-0003-3163-5853>

<https://dx.doi.org/10.48308/gisj.2022.102758>



Copyright: © 2023 by the authors. Submitted for possible open access publication under the terms and conditions of the Creative Commons Attribution (CC BY) license (<https://creativecommons.org/licenses/by/4.0/>).

## ۱- مقدمه

وجود و پخش یک یا چند آلوده کننده اعم از جامد، مایع، گاز، تشعشع پرتوزا و غیرپرتوزا در هوای آزاد، به مقدار و مدتی که کیفیت هوا را تغییر دهد و آن را برای انسان و سایر موجودات زنده یا گیاهان و یا آثار تاریخی و بنایها زیان آور کند، آلودگی هوا محسوب می شود (Webster, 2014). یکی از اصلی ترین نگرانی ها و مشکلات زیست محیطی، در دهه های اخیر، افزایش مداوم سطح گازهای آلاینده در نزدیکی سطح زمین است (Javanbakht Amiri & Khatami., 2012) براساس گزارش سازمان بهداشت جهانی در سال ۲۰۱۲، هر سال بیش از ۳/۷ میلیون نفر بر اثر بیماری های ناشی از آلودگی هوا جان خود را از دست می دهند (Asl et al., 2018) در طول قرن اخیر، غلظت گاز ازن<sup>۱</sup> در سطح زمین دوبرابر شده و این در حالی است که مقدار زیاد این آلاینده برای سلامت انسان بسیار خطرناک تر از دیگر آلاینده هاست و از عوامل اصلی بیماری های ریوی به شمار می رود (Ito et al., 2005).

تروپوسفر پایین ترین لایه اتمسفر زمین است. این لایه تا ارتفاع ۵ کیلومتری سطح زمین ادامه می یابد. لایه استراتوسفر از لایه تروپوسفر آغاز می شود و تا پنجاه کیلومتری سطح زمین ادامه دارد. لایه ازن در استراتوسفر وجود دارد. مولکول های ازن، در این لایه، انرژی فرابنفش خورشید را جذب و آن را به گرما تبدیل می کنند. ازن موجود در لایه استراتوسفر از انسان دربرابر اشعه فرابنفش خورشید محافظت می کند. ازن تروپوسفر که نام دیگر آن ازن سطح زمین است، دو منبع دارد:

- (۱) ریزش ازن استراتوسفر به جو و تبدیل آن به ازن سطح زمین؛
  - (۲) واکنش شیمیایی بین برخی آلاینده ها و تبدیل آن به ازن سطح زمین.
- غلظت بالای این آلاینده تأثیرات بسیار نامطلوبی در سلامت انسان دارد (Susaya et al., 2013). ازن با تحریک ریه و تأثیر در بافت های آن، غشای مخاطی و

عملکردهای تنفسی، در درازمدت باعث از کارافتادن ریه ها می شود (Ito et al., 2005). از مضرات گاز ازن در سطح زمین می توان به تأثیر گستردگی آن در اکسیستهای زمینی، افزایش اثر گلخانه ای و افزایش دمای کره زمین و کاهش تولید محصولات کشاورزی اشاره کرد (Hollaway et al., 2012). ازن، از طریق روزنه، به برگ های گیاه وارد می شود و با اکسید کردن بافت گیاه، عملیات فتوسنتز را مختل می کند (Booker et al., 2009). آلاینده های هوابه طور کلی در چهار دسته قرار می گیرد:

- (۱) آلاینده های گازی (از جمله ازن، دی اکسید سولفور<sup>۲</sup>، دی اکسید نیتروژن<sup>۳</sup>، مونوکسید نیتروژن<sup>۴</sup>، دی اکسید کربن<sup>۵</sup>، مونوکسید کربن<sup>۶</sup> و ترکیبات آلی فرار<sup>۷</sup>؛
- (۲) آلاینده های آلی دیرپا (مانند دیوکسین<sup>۸</sup>)؛
- (۳) فلزات سنگین (مثلًا سرب و جیوه)؛
- (۴) ذرات معلق<sup>۹</sup> (Kampa & Castanas, 2008).

عبدالوهاب<sup>۱۰</sup> و همکاران (۲۰۰۵) با مدل رگرسیون خطی چند متغیره<sup>۱۱</sup> و به کارگیری پارامترهای مربوط به آلاینده های جویی و پارامترهای هواشناسی مقدار غلظت ازن را پیش بینی کردند و به این نتیجه رسیدند که گازهای دی اکسید نیتروژن، مونوکسید نیتروژن و دما بیشترین تأثیر را در افزایش غلظت ازن دارند. شیانگ<sup>۱۲</sup> و همکاران (۲۰۲۰)، با مقایسه روش های رگرسیون خطی و الگوریتم های یادگیری ماشین<sup>۱۳</sup>، غلظت ازن را با استفاده از داده های

- 
1. Ozone (O<sub>3</sub>)
  2. Sulfur Dioxide (SO<sub>2</sub>)
  3. Nitrogen Dioxide (NO<sub>2</sub>)
  4. Nitric Monoxide (NO)
  5. Carbon Dioxide (CO<sub>2</sub>)
  6. Carbon Monoxide (CO)
  7. Dioxins
  8. Particulate Matter (PM)
  9. Abdul-Wahab
  10. Multivariate Linear Regression (MLR)
  11. Xiang
  12. Machine Learning

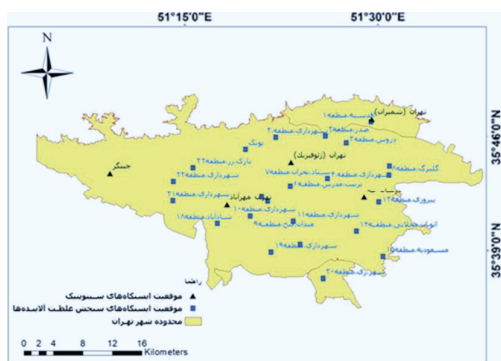
کنترلی و مدیریتی، ضرورت می‌یابد. طی دهه‌های گذشته، محققان روش‌های گوناگونی برای پیش‌بینی غلظت ازن مطرح کردند که می‌توان آنها را در دو دسته روش‌های تجربی و فیزیکی قرار داد. مدل‌های فیزیکی، به رغم دقت بالا، به دلیل حجم محاسبات و نیاز به پارامترهای انتسферی و محیطی، پیچیدگی‌های زیادی دارند. این در حالی است که محققان بسیاری همواره روش‌های تجربی را به دلیل سادگی، استفاده کرده‌اند. در عین حال این روش‌ها قطعی نیستند و به کارگیری آنها، در شرایط مکانی و زمانی متفاوت، نیازمند فرایند یادگیری و کالیبراسیون دیگر باشد. روش‌های تجربی مبتنی بر رگرسیون خطی چندمتغیره، در مطالعات متعددی، به منظور پیش‌بینی غلظت ازن به کار رفته و توسعه یافته‌اند (Huang et al., 2019). از سوی دیگر، به دلیل توانایی در انتخاب و استفاده از متغیرهای مستقل متعدد به منظور پیش‌بینی مطلوب متغیر وابسته، روش‌های یادگیری ماشین در سال‌های اخیر بسیار کاربرد داشته است. از این میان، مدل‌های مبتنی بر شبکه‌های عصبی<sup>۱</sup> همواره برای مدل‌سازی و ارائه مدل پیش‌بینی کننده‌ای قوی، از جایگاه ویژه‌ای برخوردار بوده‌اند (Biancofiore et al., 2015). در برخی مطالعات، بین کارآیی روش‌های مبتنی بر رگرسیون خطی چندمتغیره و روش‌های مبتنی بر شبکه‌های عصبی مقایسه انجام شده که نتایج آن به برتری عملکرد شبکه‌های عصبی اشاره داشته است (Spellman, 1999). توانایی مدل‌سازی رابطه‌ی غیرخطی بین ازن و پارامترهای وابسته در شبکه‌های عصبی باعث افزایش دقت مدل‌سازی تغییرات غلظت ازن و دلیل اصلی این برتری است. شایان ذکر است که در میان انواع گوناگون شبکه‌های عصبی، شبکه‌های عصبی با استفاده از

ایستگاه‌های مانیتورینگ ازن و پارامترهای آلودگی هوا مدل‌سازی کردند و به این نتیجه رسیدند که الگوریتم‌های رگرسیون خطی جزء الگوریتم‌های ساده، قوی و سریع‌اند؛ در حالی که الگوریتم‌های یادگیری ماشین پیچیده‌تر و کندترند اما می‌توانند رابطه غیرخطی بین ازن و پارامترهای وابسته را مدل کنند که این نکته پتانسیل بهبود دقت مدل را افزایش می‌دهد (Ren et al., 2020). پاک<sup>۲</sup> (2018) در مطالعات خود به این نتیجه رسید که شبکه عصبی<sup>۳</sup> با استفاده از پارامترهای هواشناسی، به منزله داده ورودی، عملکرد پیش‌بینی کننده‌های عصبی را بهبود چشمگیر می‌بخشد (Pak et al., 2018).

دی‌اکسید نیتروژن، مونوکسید نیتروژن، دی‌اکسید کربن و مونوکسید کربن از گازهای اولیه در فرایند تولید ازن به شمار می‌روند و بدون این گازها، فرایند فتوشیمیایی انجام نمی‌شود (Ahmad et al., 2014). با برخورد اشعه خورشید به این گازها، پیوند مولکولی بین اتم‌های آنها شکسته می‌شود که به آزادشدن اتم‌های اکسیژن می‌انجامد (Sullivan et al., 2017). این اتم‌ها با مولکول‌های اکسیژن<sup>۴</sup> واکنش می‌دهند و گاز ازن را به وجود می‌آورند (Reeves et al., 2002). پارامترهای هواشناسی رطوبت نسبی هوا و باد از دیگر عوامل مهم تأثیرگذار در غلظت ازن هستند. با افزایش رطوبت نسبی هوا، درجه حرارت و درنتیجه، مقدار ازن کاهش می‌یابد و باد نیز، به منزله عاملی مهم در پراکندگی آلودگی‌های جوی، رابطه‌ای مستقیم با غلظت آلاینده ازن دارد (Sullivan et al., 2017). از سوی دیگر، تغییرات مقدار غلظت ازن با تغییرات زمان و مکان، نشان می‌دهد که میزان فعالیت‌های انسانی در زمان‌های متفاوت، طول و عرض جغرافیایی و ارتفاع نیز نقش مهمی در میزان غلظت این پارامتر دارند (Vingarzan, 2004; Li & Rappenglück, 2014). تغییرات چرخه‌ای نامنظم ازن که ناشی از تأثیرپذیری از عوامل یادشده در بالاست، مدل‌سازی تغییرات ازن در نقاط و فصل‌های متفاوت به منظور بیان راهکارهای

- 
1. Pak
  2. Recurrent Neural Networks (RNN)
  3. Molecular Oxygen (O<sub>2</sub>)
  4. Perceptron

ارتفاع ۹۰۰ تا ۱۸۰۰ متری از سطح دریا امتداد یافته است. این شهر دارای اقلیم نیمه‌خشک است و در بیشتر سال‌ها، فصل زمستان نیمی از کل بارش‌های سالیانه تهران را تأمین می‌کند و تابستان نیز کم‌باران‌ترین فصل است (Sotoudeheian & Arhami, 2014). بنابراین پیش‌بینی غلظت ازن، با توجه به روند افزایشی آن در شهر تهران می‌توان نقش مهمی در مدیریت آن ایفا کند (Ahmadi & Mahmoudi, 2013).



شکل ۱. محدوده شهر تهران به همراه ایستگاه‌های سنجش غلظت آلاینده‌ها و ایستگاه‌های سینوپتیک

**۲-۱-داده‌ها**  
داده‌های مورد استفاده در این مطالعه شامل دما (بر حسب درجه سلسیوس)، رطوبت نسبی (بر حسب درصد) و سرعت باد (بر حسب متر بر ثانیه) برگرفته از سازمان هواشناسی کشور، غلظت مونوکسید نیتروژن<sup>۱</sup> (بر حسب ppb)، غلظت دی‌اکسید نیتروژن (بر حسب ppb) و غلظت نیترات<sup>۲</sup> (بر حسب ppb) برگرفته از شرکت کنترل کیفیت هوای تهران و همچنین محصول ماهواره‌ای دمای سطح خاک<sup>۳</sup> (بر حسب کلوین) است. در مدل‌سازی تغییرات غلظت ازن، استفاده از محصولات ماهواره‌ای بهمنزله یکی از اصلی‌ترین منابع

1. LST MOD11A1
2. Parts-Per-Billion (ppb, 10-9)
3. Nitrox (NOx)
4. MODIS/ Terra Land Surface Temperature/Emissivity Daily L3 Global 1 km

ترکیب پارامترهای ورودی، پتانسیل عملکرد پیش‌بینی کننده‌های عصبی را بهبود در خور توجهی بخشیده است (Pak et al., 2018). اگرچه دقت مدل‌سازی پارامترهای گوناگون علاوه بر الگوییتم مورد استفاده، تاحد بسیاری از رفتار پارامتر مورد بازیابی، مقیاس، وضوح و اندازه جامعه مورد مطالعه نشئت می‌گیرد، نقش کلیدی متغیرهای ورودی در مدل‌سازی تغییرات پارامتر مورد بازیابی، انکارناپذیر است. مطالعات نشان داده‌اند که گازهای دی‌اکسید نیتروژن، مونوکسید نیتروژن و دما بیشترین تأثیر را در تغییرات غلظت ازن آلاینده‌های جوی و داده‌های هواشناسی است. این داده‌ها، به ترتیب، از ایستگاه‌های سنجش آلاینده‌های جوی و ایستگاه‌های سینوپتیک شهر تهران، طی بازه زمانی سال‌های ۲۰۱۵ تا ۲۰۲۱ تهیه شده‌اند. از آنجاکه دمای سطح زمین همبستگی بسیاری با غلظت ازن سطحی دارد و محصول ماهواره‌ای دمای سطح خاک<sup>۱</sup> نیز با توان تفکیک مکانی ۱۰۰۰ متر، به صورت روزانه در دسترس قرار دارد، در این مطالعه به منظور بهبود دقت مدل‌سازی، پارامتر مورد اشاره به داده‌های ورودی افزوده شده است (Sullivan et al., 2017).

## ۲- مواد و روش‌ها

### ۲-۱- منطقه مطالعاتی

منطقه مورد مطالعه، در این تحقیق، شهر تهران با محدوده طول و عرض جغرافیایی نشان‌داده شده در شکل ۱ است. تهران یکی از آلوده‌ترین شهرهای جهان است که تراکم جمعیتی بالا، طوفان‌های گردوبغار، توپوگرافی خاص و احاطه شهر با کوه‌های اطراف از عوامل اصلی این آلودگی‌اند. این شهر، با ۸،۶۹۳،۷۰۶ نفر جمعیت، بیست و چهارمین شهر بر جمعیت جهان و دومین کلان‌شهر پر جمعیت خاورمیانه است. از دید ناهمواری‌های طبیعی، شهر تهران به دو ناحیه دشتی و کوهپایه‌ای البرز تقسیم می‌شود و گستره کنونی آن از

بین ازن و دما برقرار می‌شود. بررسی سری زمانی سه آلاینده‌دی اکسید نیتروژن، مونوکسید نیتروژن و مونوکسید کربن که از گازهای اولیه در فرایند تولید ازن محسوب می‌شوند، حاکی از ارتباط غیرمستقیم تغییرات غلظت این آلاینده‌ها با آلاینده‌ازن بوده است (Ahamad et al., 2014). بنابراین در مرحله اول تحقیق، میزان همبستگی بین این متغیرها با مقدار ازن باید بررسی و ارزیابی شود. جدول ۱ توصیف آماری ۲۲۸۰۰ داده (داده‌های مربوط به بازه زمانی پنج ساله از ایستگاه‌های آلاینده‌گی) را نشان می‌دهد. میزان غلظت ازن از ۱ تا ۸۳ متفاوت بوده و دارای میانگین ۲۱/۷ است. نسبت میانگین به دامنه تغییرات، در این آلاینده، بیشتر از دیگر آلاینده‌هاست که مقدار زیاد این آلاینده را می‌رساند. میانگین رطوبت کمتر از ۵۰ و دمای رو به بالا بیانگر شرایط آبوهوای خشک و گرم است.

میزان ضریب همبستگی پیرسون بین پارامترهای مستقل و غلظت ازن که از طریق رابطه (۲) محاسبه می‌شود، در جدول ۲ نشان داده شده است (Özbay, 2012) در این رابطه،  $Y, X, \bar{X}$  و  $\bar{Y}$  به ترتیب بردار متغیر مستقل، بردار متغیر وابسته، بردار میانگین متغیر مستقل و بردار میانگین متغیر وابسته‌اند.

$$R = \frac{\sum(X-\bar{X})(Y-\bar{Y})}{\sqrt{\sum(X-\bar{X})^2} \sqrt{\sum(Y-\bar{Y})^2}} \quad (2)$$

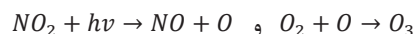
در این رابطه،  $Y, X, \bar{X}$  و  $\bar{Y}$  به ترتیب بردار متغیر مستقل، بردار متغیر وابسته، بردار میانگین متغیر مستقل و بردار میانگین متغیر وابسته‌اند.

تأمین متغیرهای ورودی، موجب افزایش دقت پیش‌بینی پارامتر ازن می‌شود (Abdullah et al., 2019). داده‌های ایستگاه‌های سینوپتیک هر سه ساعت یکبار برداشت می‌شود و از وبگاه <https://data.irimo.ir/> می‌توان آن را دانلود کرد. این داده‌ها با استفاده از میانگین گیری ساده به داده‌های روزانه تبدیل شده و در مدل‌سازی به کار رفته‌اند. داده‌های ایستگاه‌های آلاینده‌گی نیز روزانه از وبگاه <https://airnow.tehran.ir/home/DataArchive.aspx> دانلود شده‌اند. داده‌های ایستگاه‌های آلاینده و سینوپتیک در بازه زمانی سال‌های ۲۰۱۵ تا ۲۰۲۰ (پنج سال)، با توان تفکیک روزانه، دریافت و استفاده شدند.

### ۲-۳-۱-۱- روش کار

بین غلظت ازن با متغیرهای مستقل همان‌طور که اشاره شد، گازهای مونوکسید نیتروژن و دی‌اکسید نیتروژن از گازهای اصلی در فرایند تولید ازن شمرده می‌شوند (Ahamad et al., 2014). رابطه (۱) فرایند تشکیل این گاز را بیان می‌کند.

رابطه (۱)



در این رابطه، مقدار  $hv$  برابر با انرژی اشعه خورشید است و به این ترتیب، از طریق اشعه خورشید، ارتباطی

جدول ۱. توصیف آماری پارامترهای وابسته و مستقل استفاده شده در مدل‌سازی

	غلظت ازن نیتروژن	غلظت مونوکسید نیتروژن	غلظت دی‌اکسید نیترات	دماهی سطح خاک	دماهی هوای خاک	رطوبت هوای خاک	سرعت باد نسبی	سرعت باد نسبی
میانگین	21/71	70/00	50/45	120/04	14805/20	18/86	34/09	2/11
انحراف معیار	11/30	56/95	24/08	71/69	646/49	9/89	16/89	1/27
کمترین مقدار	1	0	0	0	12611	12/-6	7/874	0
بیشترین مقدار	83	459	358	644	16353	6/37	100	10/5

جدول ۲. مقادیر ضریب همبستگی ازن و پارامترهای مستقل

	سرعت باد نسبی	رطوبت هوای خاک	دماهی هوای خاک	دماهی سطح خاک	غلظت دی‌اکسید نیترات	غلظت مونوکسید نیترات	سرعت باد نسبی
ضریب همبستگی با ازن	-0/41	-0/22	-0/40	0/65	0/63	-0/51	0/14
مقادیر سطح معنی‌داری	<0/00 1	<0/00 1	<0/00 1	<0/00 1	<0/00 1	<0/00 1	<0/00 1

خطای تصادفی رگرسیون است. با بازنویسی رابطه (۳) براساس پارامترهای ورودی حالت اول، رابطه (۴) حاصل خواهد شد که مدل سازی براساس آن انجام شده است.

رابطه (۴)

$$O_{ij} = b_0 + (b_1 NO_{2ij}) + (b_2 NO_{ij}) + (b_3 NO_{xij}) + (b_4 WS_{ij}) + (b_5 Temp_{ij}) + (b_6 RH_{ij}) + \varepsilon_{ij}$$

در این معادله  $Temp_{ij}$ ,  $NO_{ij}$ ,  $NO_{2ij}$ ,  $NO_{xij}$ ,  $WS_{ij}$ ,  $RH_{ij}$ ,  $O_{ij}$ ,  $\varepsilon_{ij}$ ,  $WS_{ij}$ ,  $RH_{ij}$ ,  $Temp_{ij}$ ,  $NO_{xij}$  نیترات، دی اکسید نیتروژن، مونوکسید نیتروژن، دما، رطوبت نسبی، سرعت باد، خطای مدل سازی و غلظت ازن برداشت شده از ایستگاه  $i$  در روز  $\lambda^*$  است.

در حالت دوم، باز هم از غلظت آلاینده‌ها و داده‌های هواشناسی به منزله پارامترهای ورودی روش رگرسیون خطی چندمتغیره استفاده شده؛ با این تفاوت که داده‌ها به روش WTEST استفاده شده است. این آماره، با استفاده از بردار خطای باقیمانده و ماتریس واریانس-کوواریانس بردار خطای باقیمانده، مشاهدات اشتباه را شناسایی و حذف می‌کند و خطای مدل سازی را کاهش می‌دهد. در این روش، ابتدا بردار خطای باقیمانده رگرسیون و ماتریس واریانس-کوواریانس بردار خطای محاسبه می‌شود؛ سپس، با تقسیم عناصر خطای باقیمانده رگرسیون بر عناصر قطری ماتریس واریانس-کوواریانس بردار خطای داده‌ای که بیشترین خطای را در مدل سازی ایجاد کرده است شناسایی و حذف می‌شود. مطابق رابطه (۵)، تنها تفاوت حالت سوم مدل سازی ازن با حالت پیشین افزودن متغیر محصول ماهواره‌ای دمای سطح خاک، در کنار سایر پارامترهای ورودی، به مدل است.

رابطه (۵)

$$O_{ij} = b_0 + (b_1 NO_{2ij}) + (b_2 NO_{ij}) + (b_3 NO_{xij}) + (b_4 WS_{ij}) + (b_5 Temp_{ij}) + (b_6 RH_{ij}) + (b_7 LST_{ij}) + \varepsilon_{ij}$$

در این معادله،  $LST_{ij}$  دمای سطح زمین در پیکسل مربوط به ایستگاه  $i$  در روز  $\lambda^*$  است.

نتایج همبستگی بین ازن و متغیرهای مستقل نشان می‌دهد، اگرچه گازهای مونوکسید نیتروژن و دی اکسید نیتروژن گازهای تولید ازن هستند، با غلظت آن همبستگی منفی دارند. تمایل بیشتر اتم اکسیژن برای واکنش با گازهای نیتروژن و مونوکسید نیتروژن در قیاس با اکسیژن ( $O_2$ ) دلیل این نکته است. البته با افزایش دما و متعاقب آن، افزایش احتمال شکستن پیوند مولکولی بین این گازها و آزادشدن اکسیژن، فرایند تشکیل ازن تسريع می‌شود. از طرفی، با افزایش رطوبت نسبی، اثر دما و نور خورشید کاهش می‌یابد و فرایند تشکیل ازن کندر می‌شود؛ به همین دلیل، ازن با رطوبت همبستگی منفی و با دما بیشترین همبستگی را دارد. از این‌رو در مناطق با دمای بیشتر، احتمال بالاتر بودن غلظت ازن بسیار بیشتر خواهد بود. مقادیر همبستگی و معناداری آماری ( $P < 0.01$ ) نشان می‌دهد همه متغیرهای مستقل به کاررفته در مدل سازی‌ها به افزایش دقیق مدل سازی ازن منجر می‌شوند و عملکرد مدل‌ها را بهبود خواهند بخشید.

## ۲-۳-۲- مدل سازی

در این تحقیق، طی پنج حالت متفاوت و با استفاده از داده‌های در دست، مدل سازی غلظت ازن انجام شده است.

در حالت اول که غلظت آلاینده‌ها و داده‌های هواشناسی به منزله پارامترهای ورودی‌اند، به‌منظور مدل سازی، از روش رگرسیون خطی چندمتغیره استفاده شده است. یکی از تکنیک‌های رایج، در مدل سازی آلاینده‌ها، رگرسیون خطی چندمتغیره است که هدف آن کمینه کردن مجموع مربعات اختلاف ازن محاسبه شده و ازن واقعی است. فرمول کلی رگرسیون چندمتغیره مطابق رابطه (۳) است (Gvozdić et al., 2011).

$$y = b_0 + \sum_{i=1}^p b_i * x_i + \varepsilon \quad \text{رابطه (۳)}$$

در این معادله،  $y$  ازن برآورد شده،  $x_i$  متغیر مستقل،  $b_0$  عرض از مبدأ،  $b_i$  ضریب متغیرهای مستقل و  $\varepsilon$

مطابق روابط (۶) تا (۱۱)، ضریب تعیین مدل<sup>۱</sup>، جذر میانگین مربعات خطاهای میانگین مطلق خطاهای میانگین مربعات خطاهای<sup>۲</sup>، جذر میانگین مربعات خطاهای نرمال شده<sup>۳</sup> و ضریب تعیین تعدیل شده مدل<sup>۴</sup> ملاک ارزیابی دقت و عملکرد مدل سازی های گوناگون قرار گرفتند (Ul-Saufie et al., 2013).

$$R^2 = 1 - \frac{\sum(O_i - P_i)^2}{\sum(O_i - O_m)^2} \quad (6)$$

در این معادله،  $R^2$  ضریب تعیین،  $O_i$  مقدار غلظت ازن اندازه گیری شده،  $n$  تعداد دفعات اندازه گیری ازن  $P_i$  مقدار غلظت ازن مدل سازی،  $S_{obs}$  انحراف معیار استاندارد غلظت ازن،  $S_{pred}$  انحراف معیار غلظت ازن تخمین زده شده،  $\bar{P}$  میانگین غلظت ازن تخمین زده شده و  $\bar{O}$  میانگین غلظت ازن اندازه گیری شده است.

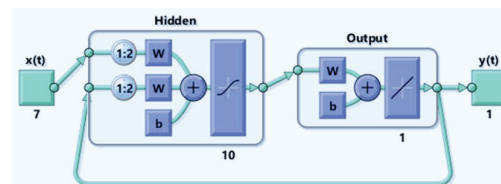
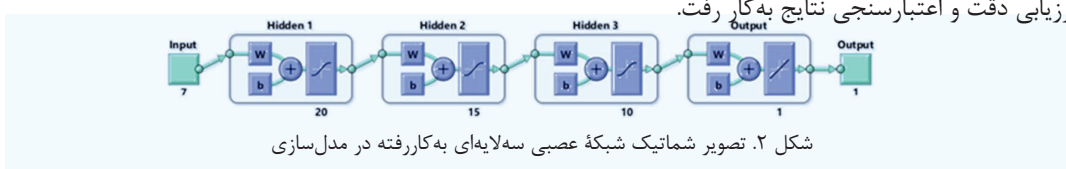
$$R^2 Ad = 1 - \frac{(1-R^2)(n-1)}{n-k-1} \quad (7)$$

$R^2 Ad$  ضریب تعیین تعدیل شده،  $n$  تعداد مقادیر ازن اندازه گیری شده و  $k$  تعداد متغیرهای مستقل در مدل سازی است.

در حالت چهارم از غلظت آلیندها، داده های هواشناسی و محصول ماهواره ای دمای سطح خاک با به کار گیری روش شبکه عصبی چند لایه ای به همراه پالایش داده ها، به منظور مدل سازی ازن استفاده شد. در این حالت، شبکه عصبی سه لایه ای با تعداد نورون های ۲۰، ۱۵، ۱۰ در لایه های مخفی و توابع فعال سازی تانژانتی به کار رفت و آموزش شبکه بر اساس الگوریتم Levenberg Marquardt انجام شد. دیاگرام شبکه استفاده شده مطابق شکل ۲ است. شبکه عصبی، به همراه پالایش داده، برای آموزش در حالت پنجم استفاده شد و داده های ورودی شامل غلظت آلیندها، داده های هواشناسی و محصول ماهواره ای دمای سطح خاک بود. آموزش شبکه عصبی تک لایه با ده نورون و تابع فعال سازی تانژانتی و میزان دمای ۲، بر اساس الگوریتم Levenberg Marquardt انجام شد. دیاگرام شبکه به کار رفته در شکل ۳ نشان داده شده است.

### ۳-۲-۳-۳- اجرای مدل و ارزیابی نتایج

به منظور مدل سازی برآورد غلظت ازن در حالت های متفاوت، ۷۰٪ داده ها استفاده شد و ۳۰٪ دیگر در ارزیابی دقت و اعتبار سنجی نتایج به کار رفت.



1. R-Squared (R2)
2. Root Mean Square Error (RMSE)
3. Mean Absolute Error (MAE)
4. Mean Square Error (MSE)
5. Normalized Root Mean Square Error (NRMSE)
6. Adjusted R-Squared (A\_R2)

جدول ۳. کمترین مقدار غلظت ازن اندازه‌گیری شده و  $O_{min}$  بیشترین مقدار این غلظت است.

### ۳- نتایج و بحث

در جدول ۳، مقادیر ضریب همبستگی بین ازن و پارامترهای مستقل، پس از حذف داده‌های پرت با آمده است. مقایسه مقدارهای بیان شده در این جدول با جدول ۲ نشان می‌دهد حذف داده‌های پرت سبب افزایش شایان توجه همبستگی بین ازن و پارامترهای مستقل شده است. در شکل ۴، نتیجه اعمال پالایش و حذف داده‌های پرت و در جدول ۴، نتایج آماری عملکرد مدل‌سازی در حالت‌های متفاوت آمده است.

$$MAE = \frac{1}{n} \sum |(O_i - P_i)| \quad (8)$$

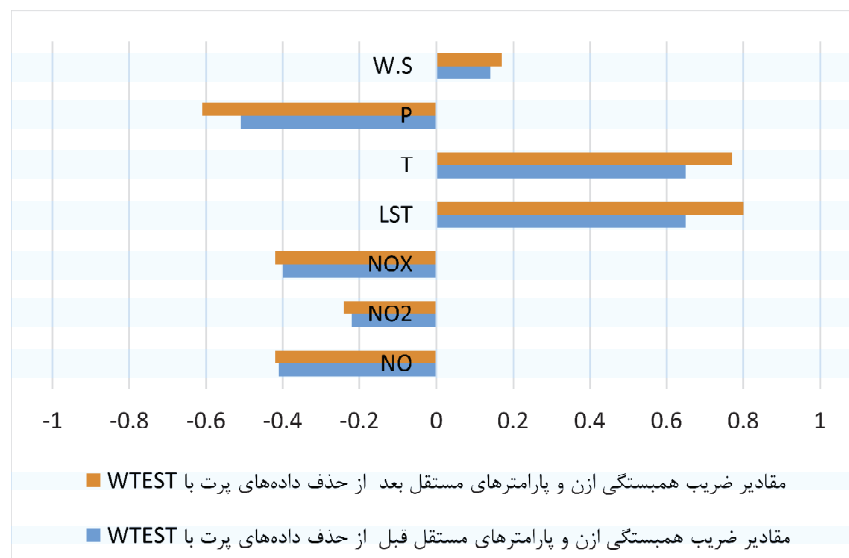
$$MSE = \frac{1}{n} \sum (O_i - P_i)^2 \quad (9)$$

$$RMSE = \sqrt{\frac{1}{n} \sum (O_i - P_i)^2} \quad (10)$$

در معادلات بالا،  $MAE$  میانگین خطای مطلق،  $MSE$  میانگین مربعات خطای  $RMSE$  جذر میانگین مربعات خطاست.

جذر میانگین مربعات خطای نرمال شده نیز طبق رابطه (11) به دست می‌آید (Ul-Saufie et al., 2013).

$$NRMSE = \frac{RMSE}{O_{max} - O_{min}} \quad (11)$$



شکل ۴. مقایسه مقادیر ضریب همبستگی ازن و پارامترهای مستقل قبل و پس از حذف داده‌های پرت با تست WTEST

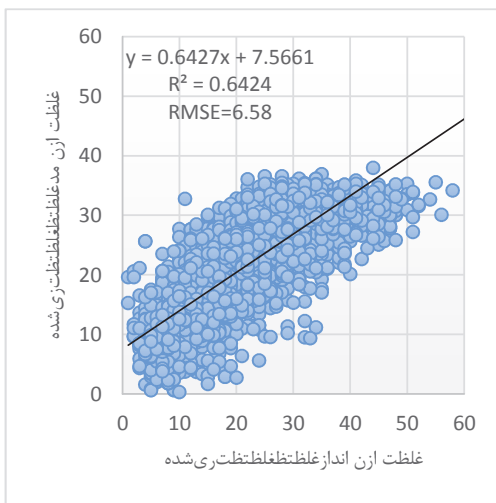
جدول ۳. مقادیر ضریب همبستگی ازن و پارامترهای مستقل پس از حذف داده‌های پرت با تست WTEST

	سرعت باد نسبی	رطوبت دمای هوای خاک	غلظت دی‌اکسید نیتروژن	غلظت دی‌اکسید نیتروژن	دمای سطح نیتروژن	ضریب همبستگی با ازن
ضریب همبستگی با ازن	-0/61	0/77	-0/42	-0/24	-0/42	-0/42
مقادیر سطح معنی‌داری	<0/001	<0/001	<0/001	<0/001	<0/001	<0/001

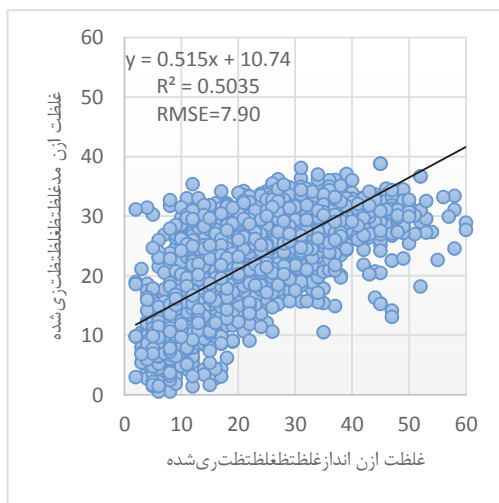
جدول ۴. نتایج آماری مدل‌سازی متغیر وابسته

پارامترهای ورودی	روش مدل‌سازی	پالایش داده	R2	Adjusted R2	MAE	MSE	RMSE	NRMSE
غلظت مونوکسید نیتروژن، غلظت دی‌اکسید نیتروژن، غلظت نیترات، دمای هوا، رطوبت نسبی، سرعت باد	برازش چندمتغیره	×	50/0	50/0	89/5	38/62	90/7	10/0
غلظت مونوکسید نیتروژن، غلظت دی‌اکسید نیتروژن، غلظت نیترات، دمای هوا، رطوبت نسبی، سرعت باد	برازش چندمتغیره	✓	64/0	64/0	11/5	24/43	58/6	08/0
غلظت مونوکسید نیتروژن، غلظت دی‌اکسید نیتروژن، غلظت نیترات، دمای هوا، رطوبت نسبی، سرعت باد، دمای سطح خاک	برازش چندمتغیره	✓	69/0	69/0	81/4	38/37	11/6	07/0
غلظت مونوکسید نیتروژن، غلظت دی‌اکسید نیتروژن، غلظت نیترات، دمای هوا، رطوبت نسبی، سرعت باد، دمای سطح خاک	شبکه عصبی پرسپترون چندلایه	✓	74/0	74/0	20/4	67/30	54/5	07/0
غلظت مونوکسید نیتروژن، غلظت دی‌اکسید نیتروژن، غلظت نیترات، دمای هوا، رطوبت نسبی، سرعت باد، دمای سطح خاک	شبکه عصبی	✓	80/0	80/0	98/3	78/25	21/5	06/0

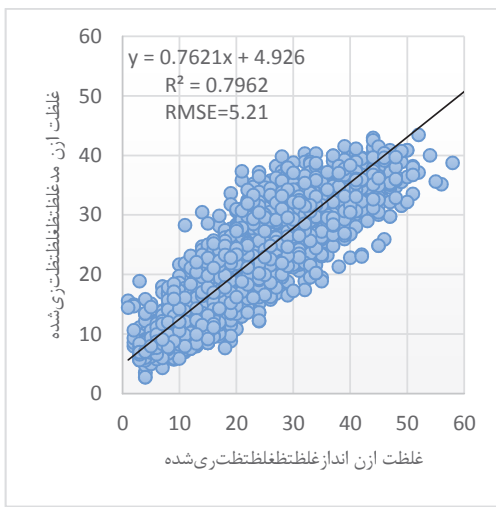
در شکل‌های ۵ تا ۹ نیز، نتایج آماری عملکرد مدل‌سازی در حالت‌های پنجگانه، در مقایسه با داده‌های غلظت ازن اندازه‌گیری شده، نشان داده شده است.



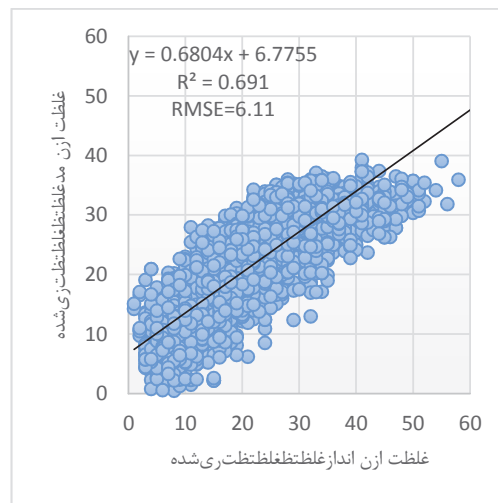
شکل ۶. مدل‌سازی با استفاده از غلظت آلاینده‌ها و داده‌های هواشناسی با روش رگرسیون خطی چندمتغیره و با پالایش داده‌ها WTEST بهروش



شکل ۵. مدل‌سازی با استفاده از غلظت آلاینده‌ها و داده‌های هواشناسی با روش رگرسیون خطی چندمتغیره

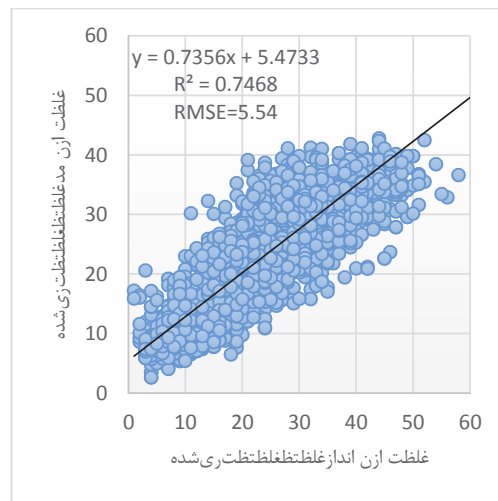


شکل ۹. مدل سازی با استفاده از غلظت آلینده‌ها، داده‌های هواشناسی و محصول ماهواره‌ای دمای سطح خاک با روش شبکه عصبی و با پالایش داده‌ها به روش WTEST



شکل ۷. مدل سازی با استفاده از غلظت آلینده‌ها، داده‌های هواشناسی و محصول ماهواره‌ای دمای سطح خاک با روش رگرسیون خطی چندمتغیره و با پالایش داده‌ها به روش WTEST

کار دقت مدل سازی را در مقایسه با حالت قبل، حدود ۱۸٪ بهبود بخشید ( $RMSE=6.5$ ,  $R^2=0.64$ ). با توجه به میزان همبستگی بالا و نقش تأثیرگذار دمای سطح خاک در برآورده میزان غلظت ازن، ورود محصول ماهواره‌ای دمای سطح خاک در کنار سایر پارامترها به مدل، در حالت سوم، توانست دقت مدل سازی را تا ۶٪ دیگر نیز بهبود دهد ( $RMSE=6.1$ ,  $R^2=0.69$ ). نتایج مدل سازی، در حالت چهارم، حاکی از آن است که شبکه عصبی پرسپترون چندلایه، در مقایسه با روش برآش چندمتغیره، توانایی بیشتری در برآورده غلظت ازن دارد و استفاده از آن می‌تواند خطای مدل سازی را به  $RMSE=5.5$  و ضریب تعیین بین مقادیر ازن برآورده شده و اندازه‌گیری شده را به  $R^2=0.7$  برساند. دلیل این موضوع توانایی شبکه عصبی پرسپترون چندلایه در کاهش داده‌های نویزدار در مدل سازی هاست (Hastie et al., 2009). شبکه‌های عصبی، به علت داشتن حافظه داخلی، می‌توانند ورودی قبلی خود را به خاطر بسپرند و از این حافظه برای پردازش دنباله‌ای از ورودی‌ها بهره ببرند؛ از این‌رو این شبکه‌ها توانایی مورد قبولی در مدل سازی داده‌های



شکل ۸. مدل سازی با استفاده از غلظت آلینده‌ها، داده‌های هواشناسی و محصول ماهواره‌ای دمای سطح خاک با روش شبکه عصبی چندلایه‌ای و با پالایش داده‌ها به روش WTEST

در حالت اول، داده‌های ورودی برای مدل سازی غلظت ازن شامل برداشت‌های اغلب اشتباه و نویزدار می‌شود که به خطای بسیاری در مدل سازی منجر شده است ( $RMSE=7.9$ ,  $R^2=0.50$ )؛ بنابراین در حالت دوم، به منظور بهبود دقت مدل سازی، داده‌های اشتباه و نویزدار با استفاده از آماره WTEST حذف شد و این

روش‌های یادگیری ماشین مناسب، معرفی پارامترهای ورودی مرتبط و کاهش داده‌های نویزی، دقت و عملکرد مدل‌سازی بهبود یافته است؛ به‌گونه‌ای که این پژوهش، با به‌کارگیری ۲۲۸۰۰ داده در کل فرایند مدل‌سازی طی بازه زمانی سال‌های ۲۰۱۵ تا ۲۰۲۱، با استفاده از روش‌های مدل‌سازی بهتر و آماره WTEST، موفق به ارتقای مقادیر ضریب تعیین تعدیل شده از ۵۰ به ۸۰ شده است.

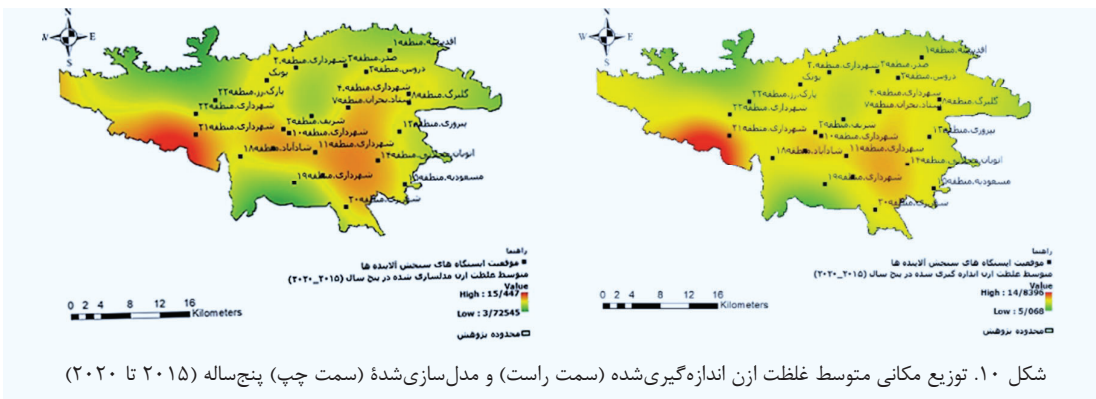
توزیع مکانی متوسط غلظت ازن اندازه‌گیری شده و مدل‌سازی شده پنج ساله (۲۰۲۰ تا ۲۰۱۵) به‌روش شبکه عصبی چندلایه‌ای در شکل ۱۰ نمایش داده شده است.

#### ۴- نتیجه‌گیری

با توجه به اهمیت غلظت ازن در جو و تأثیر آن در سلامت، رویکرد این تحقیق مدل‌سازی مناسب برای برآورد مداوم و دقیق این پارامتر جویی بوده است. بدین‌منظور و با هدف معرفی قابلیت‌های محصولات ماهواره‌محور، از روش‌های شبکه عصبی همراه با داده‌های هواشناسی و آلایندگی و محصول ماهواره‌ای دمای سطح خاک استفاده شد. در ابتدا، با استفاده از ضریب پیرسون، تأثیر هریک از متغیرهای مستقل و اهمیت آن در مدل‌سازی غلظت ازن بررسی شد. نتایج این همبستگی نشان داده است که تمامی پارامترهای مورد استفاده، به‌غیر از سرعت باد و دمای هوا،

سری زمانی دارند و می‌توانند عملکرد مدل‌سازی را بهبود بخشنند. بنابراین در مدل‌سازی غلظت ازن در حالت پنجم، شبکه عصبی با همان پارامترهای ورودی مرحله پیشین استفاده شد و توانست دقت مدل‌سازی را حدود ۱/۴ ارتقا دهد ( $RMSE=5.2$ ,  $R^2=0.80$ ).

اگرچه برداشت‌نکردن غلظت آلاینده‌ها در برخی روزها و برداشت‌های اشتباه از جمله محدودیت‌ها و عوامل ایجاد خطأ در این پژوهش بوده است، نتایج آماری، شامل ضریب تعیین بالا و  $RMSE$  پایین بین مقادیر اندازه‌گیری شده و مدل‌سازی شده غلظت ازن، با نتایج سایر پژوهش‌های گذشته، بیانگر توانایی شایان توجه مدل‌سازی انجام‌شده در پیش‌بینی غلظت ازن Draxler, 2000; Sousa et al., 2007; Shan et al., 2009; Barrero et al., 2006; Moustris et al., 2012 همان‌طور که بررسی ضریب همبستگی پیرسون بین ازن و متغیرهای مستقل نشان داد، بیشترین همبستگی مشبت به دمای سطح زمین و بیشترین همبستگی منفی به غلظت مونوکسید نیتروژن متعلق است. بنابراین یکی از مهم‌ترین دلایل دست‌یابی به این سطح از دقت، ورود پارامتر دمای سطح خاک به منزله محصولی ماهواره‌محور، همراه با داده‌های هواشناسی، به مدل پیش‌بینی کننده غلظت ازن است. می‌توان به‌طور کلی نتیجه گرفت که اگرچه همه مدل‌های توسعه‌یافته توانایی مدل‌سازی غلظت ازن را دارند، با مطرح‌دن



شکل ۱۰. توزیع مکانی متوسط غلظت ازن اندازه‌گیری شده (سمت راست) و مدل‌سازی شده (سمت چپ) پنج ساله (۲۰۲۰ تا ۲۰۱۵)

جغرافیایی<sup>۱</sup> برای بهبود مدل‌سازی غلظت ازن استفاده کرد. رگرسیون وزنی جغرافیایی از روش‌های رگرسیون محلی و فضایی است که در مدل‌سازی روابط متغیرهای فضایی به کار می‌رود.

#### ۵- منابع

- Abdul-Wahab, S.A., Bakheit, C.S. & Al-Alawi, S.M., 2005, **Principal Component and Multiple Regression Analysis in Modelling of Ground-Level Ozone and Factors Affecting Its Concentrations**, Environmental Modelling & Software, 20(10), PP. 1263-1271.  
<https://doi.org/10.1016/j.envsoft.2004.09.001>
- Abdullah, S., Nasir, N.H.A., Ismail, M., Ahmed, A.N. & Jarkoni, M.N.K., 2019, **Development of Ozone Prediction Model in Urban Area**, International Journal of Innovative Technology and Exploring Engineering, 8(10), PP. 2263-2267.  
<https://doi.org/10.35940/ijitee.J1127.0881019>
- Ahamad, F., Latif, M.T., Tang, R., Juneng, L., Dominick, D. & Juahir, H., 2014, **Variation of Surface Ozone Exceedance around Klang Valley, Malaysia**. Atmospheric Research, 139, PP. 116-127.  
<https://doi.org/10.1016/j.atmosres.2014.01.003>
- Ahmadi, M.M. & Mahmoudi, P., 2013, **Analysis of Tehran Air Pollution Data in Recent Decade (2000-2009)**, IJHE, 6(1), PP. 33-44.
- Asl, F.B., Leili, M., Vaziri, Y., Arian, S.S., Cristaldi, A., Conti, G.O. & Ferrante, M., 2018, **Health Impacts Quantification of Ambient Air Pollutants Using AirQ Model Approach in Hamadan, Iran**, Environmental Research, 161, PP. 114-121.  
<https://doi.org/10.1016/j.envres.2017.10.050>
- Barrero, M., Grimalt, J.O. & Cantón, L., 2006, **Prediction of Daily Ozone Concentration Maxima in the Urban Atmosphere**, Chemometrics and Intelligent Laboratory Systems, 80(1), PP. 67-76.  
<https://doi.org/10.1016/j.chemolab.2005.07.003>

1. Geographically Weighted Regression

همبستگی منفی با غلظت ازن داشته‌اند. غلظت ازن بیشترین همبستگی منفی را با غلظت مونوکسید نیتروژن (۴۱٪) و بیشترین همبستگی مثبت را با دمای هوای مثبت (۶۳٪) دارد.

نتایج مدل‌سازی زمانی غلظت ازن نشان داد کمترین ضریب تعیین برای روش برازش خطی چندمتغیره (۵۰٪) و بیشترین ضریب تعیین برای روش شبکه عصبی (۸۰٪) است. از سویی، پالایش داده‌های ورودی باعث افزایش چهارده درصدی ضریب تعیین شد. افزودن محصول دمای سطح خاک سنجنده مادیس با مشاهدات زمینی نیز به افزایش پنج درصدی ضریب تعیین انجامید. با مقایسه نقشه غلظت ازن مدل‌سازی شده با نقشه غلظت ازن اندازه‌گیری شده از طریق ایستگاه‌های سینوپتیک، می‌توان نتیجه گرفت که مدل‌سازی‌های انجام شده تغییرات زمانی و مکانی غلظت ازن در شهر تهران را به خوبی برآورد کرده‌اند. پارامترهای مرتبط، به ویژه دمای سطح خاک، به منزله ورودی در مدل‌های شبکه عصبی معرفی شده وارد و با استفاده از مقادیر اندازه‌گیری شده ازن، مدل‌سازی انجام شد. درنهایت با استفاده از اندازه‌گیری‌های زمینی ازن، مدل‌ها اعتبارسنجی شدند و نتایج نشان داد که مدل‌سازی‌ها، در برآورد میزان ازن، قابلیت بالایی دارند. با توجه به احتمال تأثیر سایر پارامترهای سینوپتیک و آلودگی در غلظت ازن، مانند فشار هوای غلظت مونوکسید کربن که به تغییرات گازهای جوی منجر می‌شود، برای بررسی تأثیرات دیگر پارامترها در غلظت این پارامتر، مطالعات بیشتری ضرورت می‌یابد. برای بهبود دقیق مدل‌سازی می‌توان از افزودن محصولات ماهواره‌ای به داده‌های ورودی، مانند UV-B محصولات ماهواره‌ای وارونگی هوای و طیف خورشید که تغییرات ازن باعث تغییرات پیکسلی آن می‌شود، استفاده کرد.

از آنجاکه مکان در مقدار غلظت ازن تأثیرگذار است، می‌توان از مدل‌های مکانی مانند مدل رگرسیون وزنی

- Biancofiore, F., Verdecchia, M., Di Carlo, P., Tomassetti, B., Aruffo, E., Busilacchio, M., Bianco, S., Di Tommaso, S. & Colangeli, C., 2015, **Analysis of Surface Ozone Using a Recurrent Neural Network**, Science of the Total Environment, 514, PP. 379-387.  
<https://doi.org/10.1016/j.scitotenv.2015.01.106>
- Booker, F., Muntifering, R., McGrath, M., Burkey, K., Decoteau, D., Fiscus, E., Manning, W., Krupa, S., Chappelka, A. & Grantz, D., 2009, **The Ozone Component of Global Change: Potential Effects on Agricultural and Horticultural Plant Yield, Product Quality and Interactions with Invasive Species**, Journal of Integrative Plant Biology, 51(4), PP. 337-351.  
<https://doi.org/10.1111/j.1744-7909.2008.00805.x>
- Draxler, R.R., 2000, **Meteorological Factors of Ozone Predictability at Houston, Texas**, Journal of the Air & Waste Management Association, 50(2), PP. 259-271.  
<https://doi.org/10.1080/10473289.2000.10463999>
- Gvoždić, V., Kovač-Andrić, E. & Brana, J., 2011, **Influence of Meteorological Factors NO<sub>2</sub>, SO<sub>2</sub>, CO and PM 10 on the Concentration of O<sub>3</sub> in the Urban Atmosphere of Eastern Croatia**, Environmental Modeling & Assessment, 16(5), PP. 491-501.  
<https://doi.org/10.1007/s10666-011-9256-4>
- Hastie, T., Tibshirani, R., Friedman, J.H. & Friedman, J.H., 2009, **The Elements of Statistical Learning: Data Mining, Inference, and Prediction** (Vol. 2), Springer.
- Holloway, M.J., Arnold, S., Challinor, A.J. & Emberson, L., 2012, **Intercontinental Trans-Boundary Contributions to Ozone-Induced Crop Yield Losses in the Northern Hemisphere**, Biogeosciences, 9(1), PP. 271-292.  
[https://doi.org/10.5194/bg-9-271-2012, 2012.](https://doi.org/10.5194/bg-9-271-2012)
- Huang, Y., Yang, Z. & Gao, Z., 2019, **Contributions of Indoor and Outdoor Sources to Ozone in Residential Buildings in Nanjing**, International Journal of Environmental Research and Public Health, 16(14), P. 2587.  
<https://doi.org/10.3390/ijerph16142587>
- Ito, K., De Leon, S.F. & Lippmann, M., 2005, **Associations between Ozone and Daily Mortality: Analysis and Meta-Analysis**, Epidemiology, 16(4), PP. 446-457.  
<https://doi.org/10.1097/01.ede.0000165821.90114.7f>
- Javanbakht Amiri, S. & Khatami, S.H., 2012, **The Study of the Correlation between Air Quality Index Pollution and Meteorological Parameters in Tehran with Regression Analysis Approach**, Human and Environment, 10(34), PP. 15-28.
- Kampa, M. & Castanas, E., 2008, **Human Health Effects of Air Pollution**, Environmental Pollution, 151(2), PP. 362-367.  
<https://doi.org/10.1016/j.envpol.2007.06.012>
- Li, X. & Rappenglück, B., 2014, **A WRF-CMAQ Study on Spring Time Vertical Ozone Structure in Southeast Texas**, Atmospheric Environment, 97, PP. 363-385.  
<https://doi.org/10.1016/j.atmosenv.2014.08.036>
- Moustris, K., Nastos, P., Larissi, I. & Paliatsos, A., 2012, **Application of Multiple Linear Regression Models and Artificial Neural Networks on the Surface Ozone Forecast in the Greater Athens Area, Greece**, Advances in Meteorology, 2012.  
<https://doi.org/10.1155/2012/894714>
- Özbay, B., 2012, **Modeling the Effects of Meteorological Factors on SO<sub>2</sub> and PM<sub>10</sub> Concentrations with Statistical Approaches**, Clean–Soil, Air, Water, 40(6), PP. 571-577.  
<https://doi.org/10.1002/clen.201100356>
- Pak, U., Kim, C., Ryu, U., Sok, K. & Pak, S., 2018, **A Hybrid Model Based on Convolutional Neural Networks and Long Short-Term Memory for Ozone Concentration Prediction**, Air Quality, Atmosphere & Health, 11(8), PP. 883-895.  
<https://doi.org/10.1007/s11869-018-0585-1>
- Reeves, C.E., Penkett, S.A., Bauguitte, S., Law, K.S., Evans, M.J., Bandy, B.J., Monks, P.S., Edwards, G.D., Phillips, G. & Barjat, H., 2002, **Potential for Photochemical Ozone Formation in the Troposphere over the North Atlantic as Derived from Aircraft Observations during ACSOE**, Journal of Geophysical Research: Atmospheres, 107(D23), ACH 14-11-ACH 14-14.  
<https://doi.org/10.1029/2002JD002415>

- Ren, X., Mi, Z. & Georgopoulos, P.G., 2020, **Comparison of Machine Learning and Land Use Regression for fine Scale Spatiotemporal Estimation of Ambient Air Pollution: Modeling Ozone Concentrations across the Contiguous United States**, Environment International, 142, P. 105827  
<https://doi.org/10.1016/j.envint.2020.105827>
- Shan, W., Yin, Y., Lu, H. & Liang, S., 2009, A **Meteorological Analysis of Ozone Episodes Using HYSPLIT Model and Surface Data**, Atmospheric Research, 4(93), PP. 767-776.  
DOI: 10.1016/j.atmosres.2009.03.007
- Sotoudeheian, S. & Arhami, M., 2014, **Estimating Ground-Level PM 10 Using Satellite Remote Sensing and Ground-Based Meteorological Measurements over Tehran**, Journal of Environmental Health Science and Engineering, 12(1), PP. 1-13.  
<https://doi.org/10.1186/s40201-014-0122-6>
- Sousa, S., Martins, F.G., Alvim-Ferraz, M. & Pereira, M.C., 2007, **Multiple Linear Regression and Artificial Neural Networks Based on Principal Components to Predict Ozone Concentrations**, Environmental Modelling & Software, 22(1), PP. 97-103.  
<https://doi.org/10.1016/j.envsoft.2005.12.002>
- Spellman, G., 1999, **An Application of Artificial Neural Networks to the Prediction of Surface Ozone Concentrations in the United Kingdom**, Applied Geography, 19(2), PP. 123-136.  
[https://doi.org/10.1016/S0143-6228\(98\)00039-3](https://doi.org/10.1016/S0143-6228(98)00039-3)
- Sullivan, J.T., Rabenhorst, S.D., Dreessen, J., McGee, T.J., Delgado, R., Twigg, L. & Sumnicht, G., 2017, **Lidar Observations Revealing Transport of O<sub>3</sub> in the Presence of a Nocturnal Low-Level Jet: Regional Implications for “Next-Day” Pollution**, Atmospheric Environment, 158, PP. 160-171.  
<https://doi.org/10.1016/j.atmosenv.2017.03.039>
- Susaya, J., Kim, K.-H., Shon, Z.-H. & Brown, R.J., 2013, **Demonstration of Long-Term Increases in Tropospheric O<sub>3</sub> Levels: Causes and Potential Impacts**, Chemosphere, 92(11), PP. 1520-1528.  
<https://doi.org/10.1016/j.chemosphere.2013.04.017>
- Ul-Saufie, A.Z., Yahaya, A.S., Ramli, N.A., Rosaida, N. & Hamid, H.A., 2013, **Future Daily PM10 Concentrations Prediction by Combining Regression Models and Feedforward Backpropagation Models with Principle Component Analysis (PCA)**, Atmospheric Environment, 77, PP. 621-630.  
<https://doi.org/10.1016/j.atmosenv.2013.05.017>
- Vingarzan, R., 2004, **A Review of Surface Ozone Background Levels and Trends**, Atmospheric Environment, 38(21), PP. 3431-3442.  
<https://doi.org/10.1016/j.atmosenv.2004.03.030>
- Xiang, S., Liu, J., Tao, W., Yi, K., Xu, J., Hu, X., Liu, H., Wang, Y., Zhang, Y., Yang, H., Hu, J., Wan, Y., Wang, X., Ma, J., Wang, X., Tao, S., 2020, **Control of both PM2.5 and O<sub>3</sub> in Beijing-Tianjin-Hebei and the surrounding areas**, Atmospheric Environment, 224, 117259.  
<https://doi.org/10.1016/j.atmosenv.2020.117259>



# سنجش از دور

## ،

## GIS ایران



سنجش از دور و GIS ایران سال پانزدهم، شماره چهارم، زمستان ۱۴۰۲  
Vol.15, No. 4, Winter 2023 Iranian Remote Sensing & GIS

17-30

## Improving the Accuracy of Ground Surface Ozone Concentration Estimation Using Satellite Products and Machine Learning

Atashi Deligani R.<sup>1</sup>, Moradizadeh M.\*<sup>2</sup>, Tashayo B.<sup>2</sup>

1. M.Sc. Student, Dep. of Geomatics, Faculty of Civil and Transportation Engineering,  
University of Isfahan, Isfahan

2. Assistant Prof., Dep. of Geomatics, Faculty of Civil and Transportation Engineering,  
University of Isfahan, Isfahan

### Abstract

Ground surface ozone is one of the most dangerous pollutants that has significant harmful effects on the residents of urban areas. The purpose of this study is to identify the factors affecting ozone concentration and modeling its changes using satellite data and different machine learning methods in Tehran. For this purpose, pollutant concentration and meteorological data were used along with the satellite product of land surface temperature (LST) in the period from 2015 to 2021. After calculating the correlation between ozone concentration and independent parameters, ozone concentration modeling was done in five different modes in terms of input parameters and learning method and applying data refinement. In the first and second mode, modeling was done using pollutant concentration and meteorological data through multivariate linear regression method. The only difference between these two modes is the filtering of the input data using the WTEST method in the second mode. In the third mode, the LST product was added to the input data, and in the fourth and fifth mode, ozone modeling was done using multilayer neural network and recurrent neural network, respectively. The comparison of the five modes showed that the modeling of the first to fifth stages with adjusted coefficient of determination of 0.5, 0.64, 0.69, 0.74 and 0.8 were able to recover the ozone concentration, respectively. It was also found that among different pollutants, nitrogen monoxide, nitrogen dioxide and nitrox have the greatest impact on ozone concentration, just as temperature, humidity and wind speed are the most influential among meteorological data. Although the use of WTEST statistics led to the identification and elimination of inconsistencies and errors in the observations of pollution measurement stations, the neural network learning method showed better performance in modeling than multivariate regression due to its less sensitivity to noise. As a notable result, adding the LST product to the input data brought a 5% increase in accuracy in estimating ozone concentration.

**Keywords:** Ozone concentration, Machine learning, Multivariate linear regression, Recurrent neural network, Atmospheric pollutant.

\* Correspondence Address: Dep. of Geomatics, Faculty of Civil and Transportation Engineering, University of Isfahan, Isfahan  
Tel: 09133063994

Email: m.moradizadeh@eng.ui.ac.ir  
<https://orcid.org/0000-0003-3163-5853>  
<https://dx.doi.org/10.48308/gisj.2022.102758>



Copyright: © 2023 by the authors. Submitted for possible open access publication under the terms and conditions of the Creative Commons Attribution (CC BY) license (<https://creativecommons.org/licenses/by/4.0/>).